

論文紹介

週期的인 構造內의 마이크로波의 共流現象

Don R. McDiarmid and George B. Walker, "Two Examples of 'Confluence' in Periodic Slow Wave Structure" IEEE trans. MTT-16 p. 2(1968)

要 約

無損失 週期構造에 의한 遮斷帶域의 除去와 零, π 모드에 對한 共流現象에 대하여 記述하였다.

特殊한 2個의 構造內의 2個의 通過모드가 共流點에서 零이 아닌 群速度를 가질 수 있음이 解析에 의하여 알리었으며 이 共流現象은 모드分離을 뚜렷이 하기 때문에 線形加速器로서 有用하다.

1. 序 論

圓板誘電體로 負荷된 週期構造를 TM모드로 勵起할 경우 π 모드의 周波數에서 誘電體와 空氣 영역의 特性임피던스를 같게 함으로서 遮斷帶域이 除去됨을 理論적으로 보였었다.

이 條件下에서 π 모드의 群速度는 零이 아니며 傳播曲線은 그림 4와 같다.

週期的인 構造를 갖는 空胴內에서 모드 分離을 增加시키는 이 結果는 線形共振加速器로서 매우 有用한 것이다.

圓板誘電體의 中心에 구멍이 있을 때에도 共流現象이 일어난다는 것이 實驗적으로 立證되었었다.

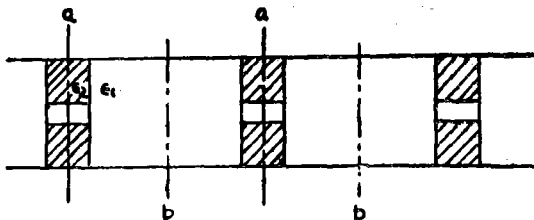


그림 1 유전체 부하의 주기구조

一般的으로 π 모드에서 2個組를 갖는 對稱面에 $(a-a, b-b)$ 마디를 갖는 定在波가 存在한다. 故로 그림 2와 같은 型의 週期的인 配置에 依한 波型은 그림 3과 같은 2個의 空胴으로 表現할 수 있으며 構造의 파라메터를 바꾸어서 空胴의 共振周波數가 같은 2개의 π 모드를 그림 2의 a, b에 各各 여진하면 遮斷帶域이 除去되어 共流가 일어나게 할 수 있다.

Walker와 West는 圓板의 두께를 조절하여 이를 形成하였다.

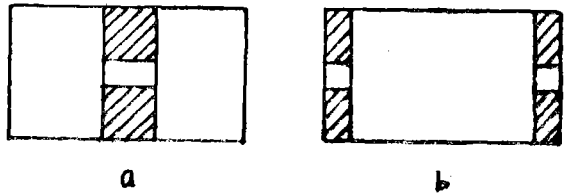


그림 2 π 모드 공동

共流點에서 群速度가 零이 아닌은 에너지가 傳播됨을 意味한다.

共流가 일어날때 π 모드의 定在波는 같은 周波數를 가지나(그림 2-a, b에서 간격이 같음을 注視) 時間과 位置의 位相이 $\pi/2$ 만큼 다르다. $\pi/2$ 移相인 二個의 定在波는 進行波를 形成한다.

2. 이리스 結合 構造

이 構造는 圓筒의 周邊을 따라 있는 좁은 폭의 細格을 通하여 空胴을 結合시킨 方法으로 Allen과 Kino에 依하여 解析되었으며 回路理論과 電磁界理論으로 다음의 傳播關係를 얻었다.

$$\alpha\pi \text{Sin}^2\left(\frac{\beta L}{2}\right) = \frac{\Omega(1-\Omega^2)}{\tan(\rho\Omega\frac{\pi}{2}) - \rho\Omega\frac{\pi}{2}} \dots\dots\dots (1)$$

여기에서

$\alpha\pi$ = 結合係數

$\Omega = \omega/\omega_1$

$\rho = \omega_1/\omega_{s1}$

$\omega_{s1} = 2,4048c/a$

= 細格短絡 TM₀₁₀ 空胴모드의 共振周波數

$$\omega_{s1} = \pi c / 2a\phi$$

= 細格의 最低共振周波數

βL = 基本하아트리 成分의 週期當 位相變化

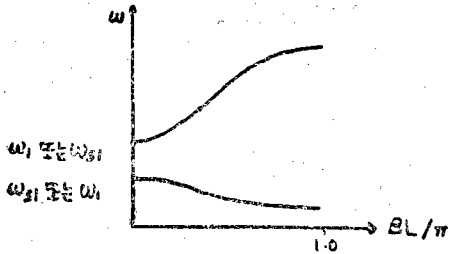


그림 3 이리스 결합 주기구조의 전파곡선

式(1)로부터 얻은 傳播曲線을 그림3에 보였다.

다음에 空胴 및 細格 사이의 遮斷帶域이 除去되어 零모드에서 群速度가 零이 아님을 보이겠다. ($\omega = \omega_{s1}$, $\phi = 0.653$)

式(1)을 βL 에 關하여 微分하여 다음 式을 얻는다.

$$[F(\Omega\rho) + G(\Omega, \rho)] \frac{d\Omega}{d\beta L} = \alpha\pi \sin \frac{\beta L}{2} \cos \frac{\beta L}{2} \dots \dots \dots (2)$$

여기에서

$$F(\Omega, \rho) = \frac{1 - 3\Omega^2}{\tan\theta - \theta}$$

$$G(\Omega\rho) = -\frac{\theta(1 - \cos^2\theta)(1 - \Omega^2)}{(\sin\theta - \theta\cos\theta)^2}$$

$$\theta = \rho\Omega \frac{\pi}{2}$$

(2)式으로부터 $\beta L = n\pi$ (n 은 定數) $d\omega/d\beta = 0$ 이며 零, π 모드에서 群速度가 零이 된다. 만일 $\beta L = n\pi$ 일때 $[F+G]=0$ 이면 即 $\rho = \Omega = 1$, $\omega = \omega_{s1}$ 이면 共流의 條件을 만족시킨다.

$\rho = 1$ 로 놓고 (2)의 βL 을 除去하면 다음 式을 얻는다.

$$A(\Omega) \cdot \frac{d\Omega}{d\beta L} = \pm \beta(\Omega)$$

Ω 가 1로 接近함에 따라 $B(\Omega)/A(\Omega)$ 에 依한 群速度에 關한 式

$$v_g = \pm \frac{\omega_1 L}{2} \sqrt{\frac{\alpha\pi}{\pi}} \dots \dots \dots (3)$$

을 얻는다.

여기에서 復符號는 傳播曲線이 交叉함을 意味하며 (1)式에 $\rho = 1$, $\alpha\pi = 0.315$ 를 代入하여 交叉點 $\beta L = 0$ 를 얻을 수 있다.

群速度가 零이될 다른 條件은 $\omega = \omega_1 = 3\omega_{s1}$ 으로서 이는 空胴通過帶域과 2次細格通過帶域의 共流가 된다. 이 경우

$$v_g = \mp \frac{\omega_1 L}{2} \sqrt{\frac{\alpha\pi}{3\pi}}$$

가 되며 이것의 振幅은 작아서 加速器로서 不適하다

3. 루프 結合構造

루프結合構造에서는 空胴相互間에 루프로 結合되고 있다.

Dunn et. al. 은 이 構造의 回路理論의 考察에서 $\beta L = \pi$ 에서 傳播曲線의 傾斜가 零이 아님을指摘했다. 이 構造에 關하여 Bevensee는 電磁氣論的으로 解析하였는데 다음의 傳播式을 얻었다.

$$\begin{aligned} & [\frac{1}{2}Pc^2(1 + \cos\beta L) + \frac{1}{2}pc(1 - \cos\beta L) - K^2] \\ & \times [\frac{1}{2}Pl^2(1 + \cos\beta L) + \frac{1}{2}pl(1 - \cos\beta L) - K^2] \\ & - m(Pc^2 - K^2)(Pl^2 - K^2)\cos^2 \frac{\beta L}{2} = 0 \dots \dots \dots (4) \end{aligned}$$

여기서

Pc = 短絡空胴모드의 正規化 周波數

pc = 開放空胴모드의 正規化 周波數

Pl = 短絡루프모드의 正規化 周波數

pl = 開放루프모드의 正規化 周波數

m = 結合係數

이들 定數들은 實驗에 依하여 測定된다. 루프의 雙이 8個以上인 百足型構造에서는 다음의 傳播式이 Bevensee에 依해 서술되었다.

$$\begin{aligned} & [\frac{1}{2}Pc^2(1 + \cos\beta L) + \frac{1}{2}pc^2(1 - \cos\beta L) - K^2] \\ & - [\frac{1}{2}Pl^2(1 + \cos\beta L) + \frac{1}{2}pl(1 - \cos\beta L) - K^2] \\ & - K\sin^2 \beta L = 0 \dots \dots \dots (5) \end{aligned}$$

(4), (5)式에서 $pc = pl$ 은 π 모드에서 共流가 일어날 必要充分條件이다.

이들 式을 βL 에 關하여 微分하고 $\beta L = \pi$ ($K = pc = pl$)를 代入하면

$$(pc^2 - pl^2) \frac{dK}{d\beta L} = 0$$

를 얻고 $pc^2 = pl^2$ 일때만이 群速度는 零이 아닌 값

을 갖는다. (그림4)

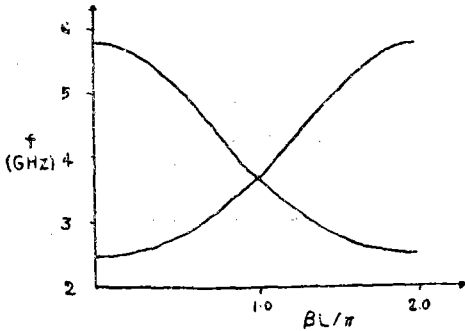


그림 4 루프 결합 주기구조의 π 모드 공류

(4)식을 k^2 에 대하여 풀고 $p_1 = p_c$ 로 놓으면 다음 관계식을 얻는다.

$$A(\beta L)K^2 = B(\beta L)$$

$\beta L \rightarrow \pi$ 의 극한을 취하여

$$v_s = \pm CL\sqrt{me(p_c^2 - P_c^2)(p_1^2 - PL^2)} / 4\pi c \dots (6)$$

루프 결합 π 모드 群速度가 2개의 共流通過帶域에 比例함을 (6)式에서 볼 수 있다. 百足型에서는 같은 過程을 통하여

$$v_s = \pm CL\sqrt{K} / 2fc$$

가 된다. 이리스細格에서 群速度는 \sqrt{B} 에 比例함을 볼 수 있는데 B, K는 帶域幅에 關係된 因子들이다.

4. 共流判定

百足型構造에서 2개의 開放空腔共振周波數를 같으게 함으로서 共流現象이 일어나는데 開放空腔은 適當한 對稱面에 磁界의 으로 短絡시켜 形成한다.

이 短絡面의 挿入은 2개의 모드의 波型이나 周波數를 攪亂시키지 않는다.

어떤 週期構造內에서 π 모드를 形成하는 2개의 空腔이 같은 周波數를 갖는다면 이 週期構造는 共流點을 갖는다.

2개의 試驗空腔은 影像對稱面에 電界短絡 또는 磁界短絡를 가진다.

零모드 共流에 對한 判定을 發展시키기 위해 影像對稱面을 갖는 이리스 結合空腔을 생각하자 Allen과 Kino는 $\omega = \omega_s$ 일때 零모드 共流가 이

構造에서 일어난을 보였다.

ω_1 에 해당하는 電磁界型은 結合細格面에 電界短絡面을 代置시킨 TM₀₁₀空腔모드에 依하여 주어진다. 勵起될 수 있는 또 다른 電磁界型은 結合細格의 中間에 磁界短絡面을 代置하여 일어난데 이는 開放回路空腔이다. 이들 空腔의 모드 周波數가 같게되면 零모드 共流現象이 일어난다.

以上 論議된 二種의 構造의 零, π 모드波型의 調査로서 주어진 短絡條件이 對稱面에 關하여 Z에 따라 奇數函數 또는 偶數函數로 變化하는 E_z 成分의 雙으로 定在波가 形成함을 알 수 있다.

誘電體에서는 π 모드에 의하여 奇數偶數函數條件이 滿足되고 誘電體負荷에서 π 모드의 에너지 傳播가 許容되는 것이다. 다음 루프結合, 이리스結合構造에서 이 性格으로 因하여 共流點에서의 에너지 傳播가 可能함을 보이겠다.

이리스結合 構造에 依한 2개의 零모드 定在波는 E_r 電界成分과 H_ϕ 磁界成分이 포인팅 벡터의 實成分이 나오도록 되어있다. Allen과 Kino의 근사치에 의하면 E_r, H_ϕ 의 符號는 細格에서 주어진 순간에 바뀌지 않는다. 따라서 積分에 依하여 포인팅 벡터는 Z方向으로 共流零모드에서 에너지의 흐름을 갖는 것이다.

細格附近에서 E_r 成分의 行爲로 因하여 E_z 成分이 Z方向으로 細格을 지날 때 符號의 變化를 받는다. 다시 말하면 細格모드의 E_z 成分의 奇數函數 變化는 細格內의 강한 E_r 成分으로 因한 것이다. 한편 空腔모드의 E_z 成分의 偶數函數 變化는 細格內의 零이 아닌 H_ϕ 成分으로 因한 것이다.

루프結合에 關한 Bevensee의 調査에 依하면 空腔中間面에서 한 π 모드는 E_r 을, 다른 모드는 H_ϕ 成分을 各各 갖고 있으며 結合面에서는 한 모드가 H_ϕ 를, 다른 모드가 E_r 成分을 갖는다고 한다. 또 이들 電磁界의 組合은 E_z 成分의 函數의 行爲에 관련된다.

週期性이 傳播外에 廻轉을 包含할때 置換空腔의 形成은 不分明한 것으로 알려져 있다. 이 경우에는 終斷面의 影像對稱面에 한組만이 規定될 수 있다. 例로서 크로버型 構造인데 이 構造에서는 突出部가 空腔에서 空腔까지 45° 廻轉하

게 된다. Bevensee는 혼합終端을 갖는 몇개의 모드로서 傳播式을 誘導하였다.

5. 結 論

이리스結合, 루프結合 그리고 百足型的 週期構造가 두 通過帶域 사이의 共流點에서 零이 아닌 群速度를 갖는 것을 보였다. 結果로서 共流點 부근에서 群速度가 커지며 여러 週期部로 構成되는 空腔內的 모드 分離가 增加되었다.

Knapp이 開發한 陽子加速構造와의 比較는 興味있는 것으로 Knapp은 $\pi/2$ 모드 動作으로 설명하였지만 Knapp의 結合回路를 空腔間的 結合網格 또는 루프로 생각한다면 Knapp의 回路는 π 모드로 解析되는 것이며 이러한 觀點에서 Knapp 回路는 π 모드에서 共流한다고 보여지는 것이다.

(李泰鎬 抄)

超傳導空腔間共振器를 갖인 모노트론 發振器

Francis Biquard, P.Grivet and Albert Septier. "A Monotron Oscillator with Superconducting Cavity" IEEE trans. Vol. IM-17 p. 254(1968)

이 論文은 超傳導空腔共振器를 사용한 모노트론型 超 高周波發振器에 對한 것이다.

理論的性質을 바탕으로한 간단한 測定結果는 이러한 型的 發振器가 훌륭한 short-term 安定度(10^{-14} for $T=1ms$)와 Spectral-Purity($2\delta f/f=10^{-11}$)를 갖고있다 는 點이다.

現在 나타난 實驗的 結果는 發振始作과 周波數安定인 데, S 밴드 發振器는 周波數安定度가 10^{-10} 以上이고 10mW 정도의 連續的인 電力을 供給할수있다는 것이 확인됐다.

1. 모노트론

모노트론 發振器라함은 한 連續的電子빔이 單

同調空腔器의 電磁界에 에너지를 輸출되는 곳에 놓인 裝置를 말한다. 負傳導領域은 特性을 이루는 빔內에 나타나서, 이 시스템의 再生動作의 可

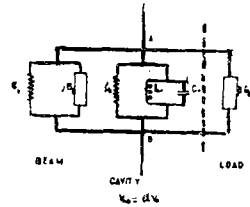


그림 1 모노트론의 등가회로

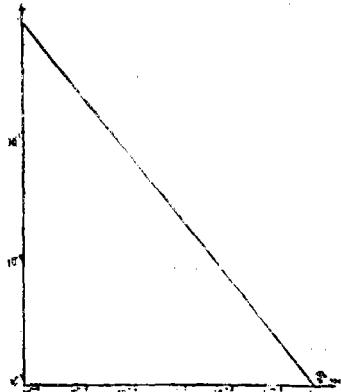


그림 2 이론적 단시간 안정도
 $f=3GHz, Q=10^7, P=0.1W$

능성을 암시해준다. 모노트론 發振器의 一般論은 먼저 Muller와 Rostas 等에 依하여 이룩됐다. 또 모노트론 發振器의 動作이 그림 1과 같은 等價回路로 表示될수있음을 보였는데 여기서 애드미턴스 $G_b + jB_b$ 는 空腔共振器의 等價回路에서 電子빔의 影響에 依한것이다. 最近의 成果로서 超傳導空腔共振器는 대단히 높은 Q값과, 훌륭한 周波數安定度를 갖인 強力한 超 高周波發振器로 등장하고 있다.

2. 超傳導 모노트론의 設計

速度 U_0 , 密度 I_0 인 電子빔이 길이 d 인 圓筒型空腔共振器의 軸를 따라, 電壓 V_0 에 加速되어 흐르고, 이때 TMO₀₁ 모드에서 共振周波數를 f 라 하자. 電子빔은 空腔共振器에서 高周波界로 그 힘이 바뀐다. 萬一 電子走行角 $D = \frac{2\pi f d}{u_0}$ 이 잘 선택된다면, 빔은 電磁界에 에너지를 전달할